

ИЗВЕСТИЯ
ТОМСКОГО ОРДЕНА ОКТЯБРЬСКОЙ РЕВОЛЮЦИИ
И ОРДЕНА ТРУДОВОГО КРАСНОГО ЗНАМЕНИ
ПОЛИТЕХНИЧЕСКОГО ИНСТИТУТА имени С. М. КИРОВА

Том 264

1976

ПЕТРОХИМИЧЕСКИЕ ОСОБЕННОСТИ ЭФФУЗИВОВ
КЕМБРИЯ ВОСТОЧНОГО СКЛОНА
КУЗНЕЦКОГО АЛАТАУ

В. Е. НОМОКОНОВ, Л. В. ПЕШЕХОНОВ

(Представлена научным семинаром кафедр общей геологии,
исторической геологии, горючих ископаемых)

В пределах восточного склона Кузнецкого Алатау в кембрийское время вулканизм проявлялся неоднократно. Геологическими исследованиями последних лет [1, 2, 4, 6, 7] достаточно убедительно доказано наличие нижне- и среднекембрийских эффузивов в правобережье реки Белого Июса (Тюриим-Ефремкинский район), в районе деревни Катюшкино, станции Ербинской, деревни Верхней Ербы (Батеневский кряж), в хребте Азыр-Тал. Причем как нижне-, так и среднекембрийские эффузивы встречаются на нескольких стратиграфических уровнях [2, 5, 6]. При достаточно детальной стратификации, изучении особенностей петрографического состава и условий формирования вулканогенных толщ вопросам их петрохимии до последнего времени уделялось мало внимания. Имеющийся в нашем распоряжении фактический материал позволяет выявить основные петрохимические особенности разновозрастных вулканогенных продуктов кембрия, формировавшихся в четыре этапа, из которых два раннекембрийские (усинский и ефремкинский) и два среднекембрийские (карасукский и берикульский).

Вулканогенными продуктами усинского этапа вулканизма являются эффузивы колоджульской свиты бассейна реки Белого Июса, распространенной в районе горы Кошкулак и деревни Ефремкино. Они слагают нижнюю часть разреза свиты (до 200 м), представлены преимущественно зеленокаменными, реже диагенетизированными, в различной степени альбитизированными диабазами, пироксен-плагиоклазовыми и плагиоклаз-пироксеновыми базальтовыми порфиритами и их туфами, переслаивающимися с темно-серыми битуминозными известняками с богатой фауной трилобитов раннего кембрия. У деревни Ефремкино в ядре Июсской синклиналии, где наблюдается сокращенный разрез колоджульской свиты (120 м пачка красноцветов), помимо пироксен-плагиоклазовых базальтовых порфириров, слагающих покров 20-метровой мощности, встречаются многочисленные слабо окатанные обломки ортофиров и фельзит-порфиров (в гравелитах и конгломератах), возможно являющихся крайними кислыми дифференциатами описываемых базальтоидов. Вулканизм этого этапа проявлялся в подводных и частично в наземных условиях в пределах интровергентиклинальных поднятий Кузнецко-Алатаусской геосинклиналии, заложившейся в начале позднего докембра. Причем усинский вулканизм был пространственно приурочен к тем геоантеклинальным поднятиям, на месте которых в позднем докембре проявлялся типичный эвгеосинклинальный вулканизм.

По имеющимся в нашем распоряжении данным химических анализов и данным пересчета их весовых количеств на числовые характеристики по методике А. Н. Заварышкого (табл. 1, 2) на векторной диаграмме устанавливается большой разброс фигуративных точек, отображающих химический состав эфузивов колоджульской свиты. Геометрическая осевая линия начальных точек векторов располагается между вариационной кривой нормального ряда по Дэли и вариационной кривой промежуточного типа, отделяющей известково-щелочные породы от щелочных. Поэтому эфузивы колоджульской свиты в целом подобны базальтидам щелочноземельного ряда с характерной для них вариацией по кислотности от меланократовых оливиновых базальтов, слабо недосыщенных кремнеземом через лейкократовые насыщенные кремнеземом базальты до андезито-базальтов и лейкократовых слабо пересыщенных кремнеземом андезитов (содержание кремнезема

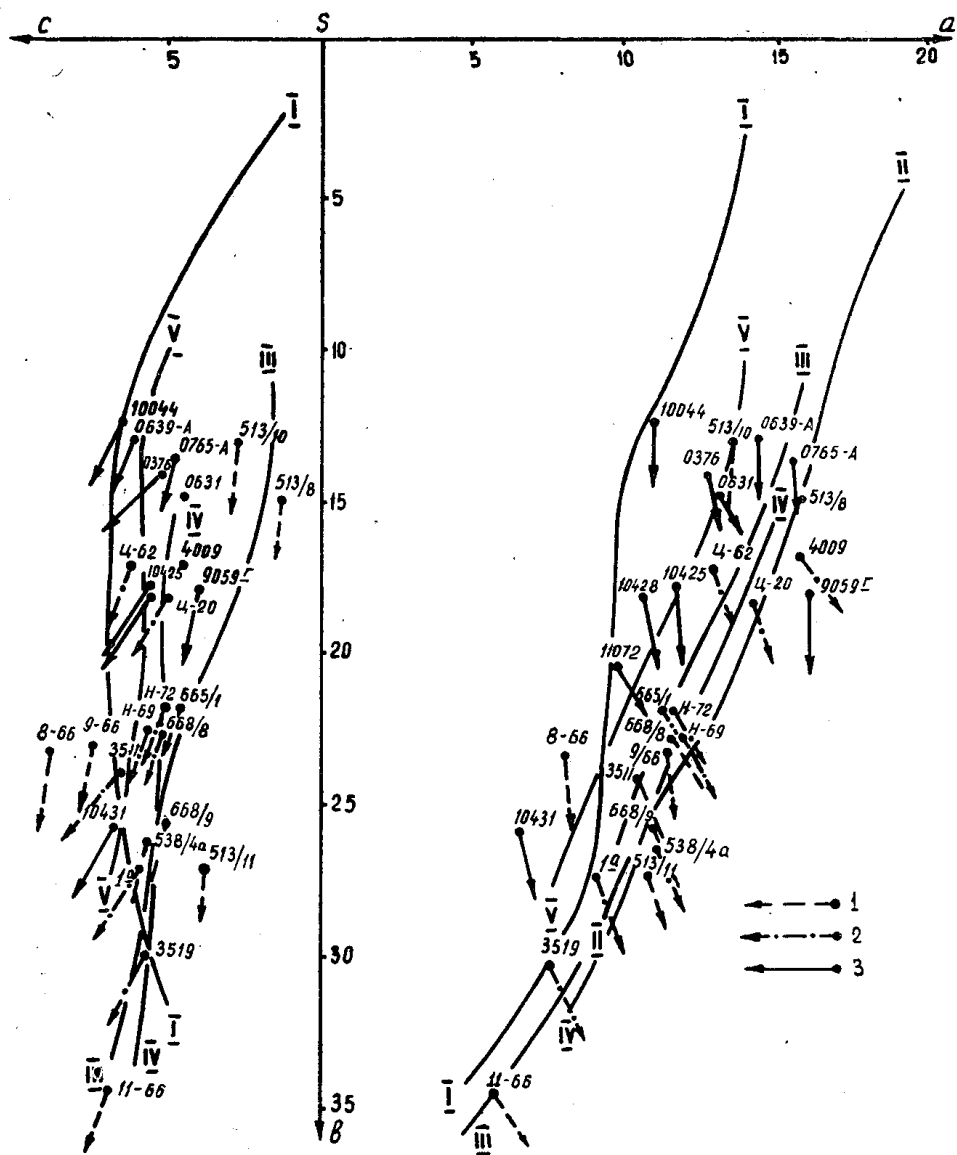


Рис. 1. Сводная векторная диаграмма химических составов эфузивов кембрия восточного склона Кузнецкого Алатау. Векторы химических составов: 1 — Усинского (Колоджульского) комплекса, 2 — Ефремкинского комплекса, 3 — Берикульского комплекса. Вариационные линии составов пород: I — нормального ряда горных пород по Дэли, II — Этны, III — Усинского (Колоджульского) комплекса, IV — Ефремкинского комплекса, V — Берикульского комплекса

Таблица I

Химические анализы эффузивов кембрия восточного склона Кузнецкого Алатау

N ^o анализа	SiO ₂	TiO ₂	Al ₂ O ₃	Fe ₂ O ₃	FeO	MnO	CaO	MgO	Na ₂ O	K ₂ O	P ₂ O ₅	S	H ₂ O	ппп	Σ
8—66	45,40	2,79	17,76	7,45	3,67	0,13	7,53	5,97	3,00	0,70	0,81	0,01	0,13	4,51	99,96
9—66	45,92	2,50	17,91	5,44	5,30	0,16	6,63	6,05	4,00	1,16	0,77	0,26	3,43	99,53	
11—66	42,92	2,40	14,53	7,00	5,35	0,15	9,53	7,76	2,13	0,76	0,43	0,39	7,07	100,43	
513/11	50,00	1,84	13,50	11,56	4,09	0,3	5,60	5,70	4,47	0,83	—	—	3,22	100,94	
513/10	62,00	0,86	15,90	2,11	3,41	0,10	2,20	4,00	5,60	1,03	—	—	4,04	100,55	
513/8	62,00	0,86	16,90	2,32	2,95	0,07	0,90	3,60	6,65	1,26	—	—	2,88	100,39	
Н—69	49,60	1,24	16,32	3,84	6,05	0,14	8,25	4,96	3,78	2,06	0,62	—	—	2,72	
Н—72	52,23	1,08	15,74	4,06	7,14	0,11	7,85	3,62	3,92	1,87	0,68	—	—	1,42	
538/4а	47,72	1,32	16,03	6,52	4,55	0,13	8,51	6,06	3,02	2,91	1,05	—	—	1,97	
665/1	51,96	1,31	14,75	3,61	5,82	0,11	8,17	3,89	3,44	2,40	0,35	—	—	3,42	
668/9	49,30	1,50	15,34	4,34	6,56	0,08	8,18	5,87	5,87	1,45	0,66	—	—	1,65	
668/8	50,72	1,79	16,19	3,84	7,09	0,08	8,01	4,33	3,95	1,90	0,52	—	—	1,06	
3511	46,35	1,26	15,85	3,27	5,67	0,30	7,79	5,60	2,41	2,90	0,77	0,02	4,40	99,62	
Ц—62	50,40	1,24	17,20	4,54	3,65	0,17	6,40	3,55	3,76	0,80	0,02	0,02	3,36	99,79	
Ц—20	51,02	1,61	17,17	1,30	7,65	0,30	5,56	3,85	3,75	3,59	0,68	0,01	2,14	99,23	
4009	50,54	1,10	17,01	3,97	3,94	0,18	6,12	2,80	4,35	3,41	0,77	0,01	3,26	98,84	
1а	47,84	1,74	14,73	5,79	4,94	0,12	7,75	7,31	2,75	1,86	0,55	—	3,74	99,48	
3519	48,13	1,44	14,01	3,40	7,16	0,14	9,55	8,47	2,22	1,75	0,44	—	0,34	101,13	
0765—А	55,23	1,20	17,76	5,54	2,96	0,11	4,03	3,00	5,30	2,32	0,50	0,02	0,16	99,61	
9059г	53,82	1,43	17,81	7,62	2,12	0,11	3,22	5,45	6,09	1,89	0,49	0,04	0,44	100,18	
0376	57,18	1,19	16,94	5,70	2,06	0,07	5,23	3,21	2,79	4,34	0,40	—	3,85	99,69	
10044	58,72	0,79	18,37	4,90	2,51	0,15	5,38	3,11	3,24	2,45	0,18	0,02	3,06	100,11	
10428	55,44	0,79	15,92	4,49	3,16	0,00	5,19	6,00	2,90	2,68	0,20	0,01	0,19	100,45	
10225	53,50	1,05	16,30*	3,58	3,44	0,06	6,60	5,72	3,24	2,80	0,49	0,01	0,55	3,37	
0639—А	55,04	1,38	19,08	5,59	2,15	0,15	4,93	2,99	4,30	3,00	0,50	0,02	0,08	100,34	
0631	58,00	1,31	16,31	7,42	1,76	0,11	5,56	2,44	4,38	2,42	0,04	0,02	1,33	101,60	
10431	49,65	1,40	16,19	7,28	3,10	0,17	8,12	7,38	2,49	2,24	0,39	0,25	1,81	98,47	
11072	49,86	11,13	16,25	5,74	3,06	0,08	8,37	3,98	2,82	2,04	0,44	0,02	0,30	6,09	

Приимечание: 1—6 — колоджульская свита; 8—66 — альбитизированный порфирит, д. Ефремкино, 9—66, 11—66 — альбитизированные диабазы, д. Ефремкино и р. Тюрим, 7—18 — эфремкинская и азыртальская свиты: Н-69 — диабаз, Н-72 — пироксен-плагиоклазовый порфирит, хр. Ефремкинский, 538/4 а — оливиновый авгит—плагиоклазовый авгит-плагиоклазовые порфириты, р-он ст. Ербинской (анализы 9—12 по В. М. Ярошевичу, 1962), 3511, Ц-62, 4009, 1а — пироксен-плагиоклазовые и пироксеновые порфириты, д. Катошкина (по Д. И. Цареву, 1969); 19—28 — берикульская (кошкулакская) свита: 0765-А — амфибол-пироксеновая андезитовая порфирит, 9059 г, 0376, 10044, 10428, 10225, 0639-А, 0631, 10431, 11072 — пироксеновые андезитовые порфириты, г. Кошкулак.

Таблица 2

Числовые характеристики по А. Н. Заварицкому

№ п.п.	№ анализа	<i>a</i>	<i>b</i>	<i>c</i>	<i>s</i>	<i>a'</i>	<i>c'</i>	<i>m'</i>	<i>t'</i>	<i>n</i>	<i>a/c</i>	<i>Q</i>
1	8-66	8,2	23,2	8,9	59,7	—	4,5	48,3	47,2	87,6	0,9	— 5,9
2	9-66	11,5	23,0	7,4	58,1	—	6,4	47,9	45,7	83,4	1,55	— 14,2
3	11-66	5,9	34,3	7,0	52,8	—	26,1	40,0	33,9	91,0	0,84	— 13,2
4	513/11	10,9	27,0	3,6	58,5	—	12,2	35,8	52,0	90,0	3,00	— 8,4
5	513/10	13,6	12,9	2,6	70,9	9,4	—	51,9	38,7	89,6	5,25	+ 12,0
6	513/8	15,8	14,8	1,1	68,3	25,6	—	39,4	35,0	88,2	1,44	+ 3,9
7	Н-69	11,9	22,4	5,6	60,1	—	22,3	39,5	38,2	73,4	2,1	— 8,2
8	Н-72	11,6	21,7	5,0	61,7	—	22,1	48,9	29,0	76,0	2,3	— 4,8
9	538/4а	11,2	26,2	5,5	57,1	—	20,0	40,4	39,6	61,0	2,0	— 13,7
10	665/1	11,4	21,7	4,5	62,4	—	26,5	31,7	41,8	68,9	2,5	— 2,5
11	668/9	11,0	25,5	5,0	58,5	—	20,2	39,6	40,2	80,3	2,2	— 10,0
12	668/8	11,7	22,6	5,2	60,5	—	21,0	33,3	45,7	76,2	2,3	— 7,6
13	3511	10,50	23,8	6,6	59,1	—	16,6	43,9	39,5	55,7	1,59	— 9,4
14	Ц-69	12,87	17,03	6,2	63,9	—	13,6	38,6	47,8	71,0	2,08	— 4,1
15	Ц-20	14,25	18,12	5,0	62,6	—	11,5	38,0	50,5	61,6	2,84	— 8,3
16	4009	15,68	16,6	4,5	63,2	—	21,3	30,6	48,1	66,0	3,48	— 9,5
17	1а	9,2	27,0	5,8	58,0	—	15,1	47,7	37,2	69,2	3,04	— 8,2
18	3519	7,6	30,2	5,6	56,4	—	20,0	47,7	32,3	64,8	1,36	— 7,8
19	0765-А	15,5	13,5	4,7	66,3	—	3,2	38,9	57,9	78,0	3,3	— 3,1
20	9059 ^r	16,1	17,8	3,9	62,2	—	0	51,7	48,3	83,0	4,1	— 11,7
21	0376	12,8	14,0	5,2	68,0	—	9,0	40,0	51,0	49,5	2,5	+ 5,2
22	10044	11,0	12,3	6,8	68,8	—	0	44,0	56,0	66,6	1,6	+ 10,9
23	10428	10,7	18,0	5,6	65,7	—	10,6	50,4	39,0	61,8	1,9	+ 4,4
24	10225	11,8	17,6	5,5	65,1	—	4,0	58,0	38,0	63,0	2,1	+ 1,1
25	0639-А	14,4	12,8	6,0	66,8	—	1,1	41,6	57,3	63,7	2,4	— 1,2
26	0631	13,2	14,7	4,4	67,7	—	16,8	28,0	55,2	74,0	3,0	+ 4,6
27	10431	8,8	25,7	6,7	58,8	—	13,0	49,6	37,4	63,5	1,3	— 6,7
28	11072	9,8	20,2	6,9	63,1	—	21,0	36,5	42,5	68,2	1,4	— 0,3

изменяется от 42, 92 до 62%). Большие вариации наблюдаются в содержании глинозема, что подтверждается появлением в группе эфузивов среднего состава разностей пересыщенных глиноземом. В области андезито-базальтов геометрическая осевая линия начальных точек векторов по сравнению с нормальным рядом на правой плоскости диаграммы заметно отклонена вправо, что отражает увеличение щелочности в более кислых эфузивах базальтоидного состава колоджульской свиты. Об этом свидетельствуют и значения индекса щелочности *a/c*, достигающие значения 5,25. Соотношение щелочей, выраженное показателем *n*, варьирующим от 81,0 до 90,0, показывает резкое преобладание натрия над калием. Это отражено на левой части диаграммы почти вертикальным наклоном векторов. На известковой плоскости диаграммы начальные точки векторов в области андезито-базальтов заметно отклонены вправо. Это связано с резко уменьшающимся содержанием полевошпатовой извести в более кислых дифференциатах базальтоидов колоджульской свиты (значения параметра *s* снижаются до 1,1). По содержанию титана и магнезии эфузивы колоджульской свиты следует считать нормальными.

Вулканиты, сформировавшиеся в Ефремкинское время, слагают основание Ефремкинской и азыртальской свит [2], переслаиваясь с терригеническими красноцветными, сероцветными и филогенными карбонатными породами, содержащими богатую трилобитовую и археоциатовую фауну обручевского горизонта нижнего кембрия [4, 7]. Эфузивы этого этапа вулканизма слагают маломощные потоки, линзовидной формы пачки туфов (туфоконгломератобрекций) и продуктов их переотложения. Пространственно они приурочены к зонам разрывных нарушений и описаны в районе д. Ефремкино [4], у ст. Ербинской [7], в районе Ка-

тюшкино [6], в хр. Азыр-Тал [2]. Описываемые эфузивы представлены в различной степени диагенетизированными, реже слабо альбитизированными диабазами, пироксен-плагиоклазовыми, плагиоклаз-пироксеноными базальтовыми порфиритами (иногда с оливином) и плагиоклазовыми порфиритами. Ефремкинский вулканизм по-прежнему проявлялся в пределах интровергояктиклинальных поднятий, представлявших собой в то время островные гряды. В этих структурных условиях вулканизм, естественно, проявлялся как в наземных, так и в подводных фациях. Состав эфузивов ефремкинской свиты соответствует преимущественно лейко- и мезократовым базальтам, в меньшей степени развиты андезито-базальты (значения параметра b колеблются в пределах 16,6—30,2) [1]. На вариационной диаграмме химический состав выражен роем векторов, располагающихся между вариационной линией средних составов пород нормального ряда и вариационной кривой промежуточного типа, отделяющей известково-щелочные породы от щелочных. Вместе с тем геометрическая осевая линия начальных точек векторов значительно приближена к последней. В поле андезито-базальтов вектора значительно уклоняются вправо от вариационной кривой нормального ряда, что указывает на повышенную щелочность, подобную отмеченной при характеристике соответствующих пород колоджульской свиты. Как колоджульские, так и ефремкинские эфузивы маложелезистые ($\text{FeO}^{\prime\prime} < 11\%$). При общем сходстве химизма эфузивов колоджульской и ефремкинской свит следует отметить, что последние по содержанию глинозема постоянно нормальные. В эфузивах ефремкинской свиты содержание титана снижено почти в 2 раза (t средняя равна 1,5) по сравнению с его содержанием в эфузивах колоджульской свиты (t средняя равна 3,0). В ефремкинских эфузивах натрий преобладает над калием, но менее резко, чем в колоджульских эфузивах. Это выражено значением показателя n , который изменяется в пределах 55,7—73,4 и лишь единичные значения достигают 80,3. Таким образом, повышенное содержание окиси калия очень характерно для описываемых пород. Малая титанистость и железистость базальтоидов ефремкинской свиты, а также повышенное содержание щелочей, особенно калия, сближает их с базальтоидами орогенной формации [3], для которой характерна дифференциация в трахитовом направлении. Крайние кислые дифференцианты описываемой формации получили сравнительно широкое развитие в районе д. Катюшино и достаточно подробно описаны Д. И. Царевым [6]. Химический состав последних заключен в пределах от трахиандезитов до трахитов и ортофиров. Эта тенденция уже наметилась в колоджульское время, но наиболее четко проявилась в ефремкинское.

Среднекембрийский вулканизм, как уже было отмечено выше, также проявился в два этапа: ранне-среднекембрийский-карасукский и поздне-среднекембрийский-берикульский. Продукты ранне-среднекембрийского вулканизма пользуются сравнительно широким распространением и участвуют в сложении мощных терригенно-вулканогенных толщ (безымянная, толчеинская, карасукская свиты), для которых характерен граувакковый состав пород и повышенная марганценосность [5]. Вулканиты этого этапа (плагиоклазовые, пироксен-плагиоклазовые базальтовые порфириты, фельзит-порфиры и соответствующие им пирокласти) резко подчинены туфогенно-обломочным и нормальным осадочным породам и в большинстве случаев являются акцессорными членами вышеуказанных толщ. Мы не располагаем данными химических анализов эфузивов раннего среднего кембра и поэтому можем только сказать, что дифференциация базальтоидов этого времени (судя по петрографическому составу пород) достигла уровня риолитов.

Поздне-среднекембрийский (берикульский) вулканизм привел к об-

разованию мощной (1,5—2 км) эффузивно-обломочной кошкулакской свиты, распространенной в районе горы Кошкулак [4]. Кошкулакская свита представлена вишнево-серыми диагенетизированными пироксен-плагиоклазовыми андезитовыми порфиритами, которые слагают верхние две трети разреза толщи. В меньшей степени развиты плагиоклазовые и андезито-базальтовые порфиры. В нижней части разреза свиты имеются базальтовые порфиры, однако особенно широко распространены лавобрекции и туфоконгломераты андезитовых порфириотов и продукты их перемыва. Вулканиты кошкулакской свиты являются производными стратовулканов наземного типа. Состав их в основном соответствует андезитам (b изменяется в пределах 12,3—14,7), в меньшей степени андезито-базальтам (b равно 17,6—17,8) и лейкократовым базальтам (b равно 20,2—25,7). При большом разбросе фигуративных точек на плоскости ASB вариационной диаграммы базальтовый ряд эффузивов свиты разполагается вблизи вариационной кривой нормального ряда. В ряду андезито-базальтов и особенно андезитов намечается тенденция смещения фигуративных точек вправо к вариационной кривой промежуточного типа, отделяющих известково-щелочные породы от щелочных, что свидетельствует о повышенной щелочности более кислых дифференциатов базальтовых пород. В связи с этим значения параметра a для этих пород повышаются от 13,2 до 15,5 (одно значение достигает 16,1). Индекс щелочности a/c имеет небольшие значения (от 1,6 до 4,1) и в среднем равен 2,6. Соотношение щелочей, выраженное параметром n , значение которого изменяется от 49,5 до 83, показывает преобладание натрия над калием, но в еще меньшей пропорции, чем в эффузивах ефремкинской свиты. По содержанию полевошпатовой извести эффузивы кошкулакской свиты мало чем отличаются от базальтоидов нормального ряда. Поэтому на известковой плоскости начальные точки векторов в основном располагаются вблизи вариационной кривой состава пород нормального ряда. По содержанию кремнекислоты описываемые вулканиты относятся к классу насыщенных кремнеземом пород, в меньшей степени развиты слабо недосыщенные и слабо пересыщенные кремнеземом породы. Величина Q в них изменяется в пределах —6,7 до +10,9. По содержанию двуокиси титана (0,79—1,43%) эффузивы кошкулакской свиты относятся к базальтоидам, бедным титаном, по содержанию железа (в пересчете на закисное) — к маложелезистым (менее 11%). Наряду с этим заметно выражена пониженная магнезиальность. Многие из этих петрохимических особенностей подобны отмеченным при характеристике ефремкинских эффузивов. Петрохимические черты эффузивов кошкулакской (берикульской) свиты свидетельствуют о принадлежности и к типичной андезитовой формации орогенной стадии развития региона. Специфические черты химизма для подобного типа формаций уже начали намечаться в эффузивах колоджульского времени, более заметно они проявились в ефремкинское время и окончательное полное выражение получают в берикульское время.

Таким образом, кембрийский вулканизм восточного склона Кузнецкого Алатау представлен несколькими вулканогенными комплексами, являющимися производными базальтовой магмы толеитового типа, дифференциация которой с течением времени приобретала все более четкие черты базальт-трахитового направления.

ЛИТЕРАТУРА

1. А. Ф. Белоусов. Крупноплощадная зональность состава вулканических серий докембria и нижнего палеозоя в западной части Алтае-Саянской области. Доклады АН СССР, т. 174, № 5, 1967.
2. Г. Н. Бровков, Д. К. Балицкий, Г. С. Бучарская, В. М. Ярошевич. Литология и сингенетическая металлогенезия вулканогенно-осадочного комплекса верхне-

го докембрия и нижнего палеозоя Восточного Саяна и Кузнецкого Алатау. Тр. СНИИГГИМСа, вып. 101, Красноярск, 1970.

3. Г. С. Горшков. Явления вулканализма и верхняя мантия. Тр. геохим. конференции «Химия земной коры». Т. 2, посвящ. 100-летию со дня рождения В. И. Вернадского. «Наука», 1964.

4. Г. А. Иванкин, И. И. Коптев, В. Е. Номоконов, В. А. Шипицын. К стратиграфии древних толщ восточного склона Кузнецкого Алатау. Материалы по минералогии, петрографии и полезным ископаемым Западной Сибири и Красноярского края. Изд. ТГУ, вып. 3, 1965.

5. В. Е. Номоконов, Б. Д. Васильев, Г. А. Иванкин, И. И. Коптев, Д. И. Царев, В. А. Шипицын. О докембрийских и кембрийских вулканогенных толщах Кузнецкого Алатау. Сб. «Проблемы палеовулканализма Средней Сибири», Красноярск, 1970.

6. Д. И. Царев. Некоторые петрохимические черты вулканических пород района высоты 808,5 (Батеневский кряж). Изв. ТПИ, т. 196, 1969.

7. В. М. Ярошевич. Стратиграфия синийских и кембрийских отложений Батеневского кряжа, хребта Азыр-Тал и бассейна реки Белый Июс. Изд. СО АН СССР, вып. 17, Новосибирск, 1970.